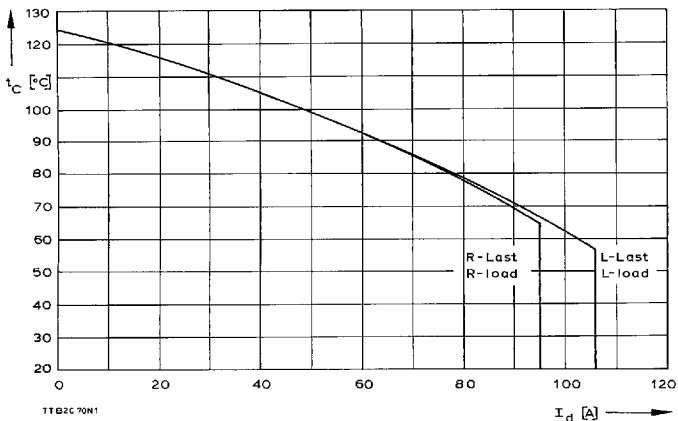


**TT B2C 70 N
TD B2HZ 70 N, TD B2HKF 70 N**

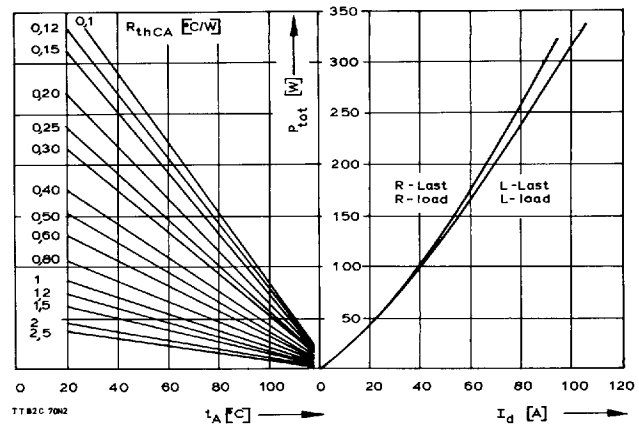
Type Range	TT B2C 70 N	600	800	1000	1200	1400	1600 *
Electrical Properties		Electrical properties					
Höchstzulässige Werte		Maximum rated values					
V_{DRM} , V_{RRM}	Periodische Vorwärts- und Rückwärts-Spitzenperrspannung	repetitive peak forward off-state and reverse voltages					600...1600 * V
I_{TRMSM}	Durchlaßstrom-Effektivwert (pro Zweig)	RMS forward current (per arm)					75 A
I_d	Ausgangsstrom	output current	$t_C = 85^\circ C$	$t_C = 65^\circ C$	$t_A = 45^\circ C, KP 0,5 S$	$t_A = 45^\circ C, KP 0,33 S$	70 A
			$t_A = 45^\circ C, KP 0,33 S$	$t_A = 35^\circ C, KP 0,41 S (V_L = 45 l/s)$	$t_A = 35^\circ C, KP 0,33 S (V_L = 90 l/s)$	$t_A = 35^\circ C, KP 0,33 S (V_L = 90 l/s)$	95 A
							37 A
							49 A
							79 A
							88 A
I_{TSM}	Stoßstrom-Grenzwert	surge current	$t_p = 10 \text{ ms}, t_{vj} \leq 45^\circ C$	$t_p = 10 \text{ ms}, t_{vj} = t_{vj, \max}$	$t_p = 10 \text{ ms}, t_{vj} \leq 45^\circ C$	$t_p = 10 \text{ ms}, t_{vj} = t_{vj, \max}$	870 A
$\int i^2 dt$	Grenzlastintegral	$\int i^2 dt$ -rating					750 A
$(di/dt)_{cr}$	Kritische Stromsteilheit	critical rate of rise of on-state current	nicht periodisch/non repetitive	Dauerbetrieb/continuous operation, $I_{TM} = 150 \text{ A}$	$V_D \leq 67\% V_{DRM}, f_0 = 50 \text{ Hz}$	$V_L = 8 \text{ V}, I_G = 0,6 \text{ A}, di_G/dt = 0,6 \text{ A}/\mu\text{s}$	3780 A ² s
$(dv/dt)_{cr}$	Kritische Spannungssteilheit	critical rate of rise of off-state voltage	$V_D = 67\% V_{DRM}, t_{vj} = t_{vj, \max}$	Kennbuchstabe/letter C	$V_D = 67\% V_{DRM}, t_{vj} = t_{vj, \max}$	600 A/ μ s	2810 A ² s
			Kennbuchstabe/letter F			120 A/ μ s	
							400 V/ μ s
							1000 V/ μ s
Charakteristische Werte		Characteristic values					
V_T	Obere Durchlaßspannung	max. on-state voltage	$t_{vj} = t_{vj, \max}, I_T = 150 \text{ A}$				2 V
$V_{(TO)}$	Schleusenspannung	threshold voltage					1,05 V
r_T	Ersatzwiderstand	slope resistance					5,2 mΩ
V_{GT}	Obere Zündspannung	max. gate trigger	$t_{vj} = 25^\circ C, V_D = 6 \text{ V}, R_A = 5 \Omega$				2,5 V
I_{GT}	Oberer Zündstrom	max. gate trigger current	$t_{vj} = 25^\circ C, V_D = 6 \text{ V}, R_A = 5 \Omega$				150 mA
I_{GD}	Nicht zündender Steuerstrom	non triggering gate current	$t_{vj} = t_{vj, \max}, V_D = 6 \text{ V}, R_A = 5 \Omega$				5 mA
I_H	Oberer Haltestrom	max. holding current	$t_{vj} = 25^\circ C, V_D = 6 \text{ V}, R_A = 5 \Omega$				200 mA
I_L	Oberer Einraststrom	max. latching current	$t_{vj} = 25^\circ C, V_D = 6 \text{ V}, R_{EK} \geq 10 \Omega$				600 mA
i_D, i_R	Oberer Vorwärts- und Rückwärts-Sperrstrom	max. forward off-state and reverse currents	$I_G = 0,6 \text{ A}, di_G/dt = 0,6 \text{ A}/\mu\text{s}, t_g = 20 \mu\text{s}$				10 mA
t_{gd}	Oberer Zündverzug	max. gate controlled delay time	$t_{vj} = t_{vj, \max}, V_D = V_{DRM} (V_R = V_{RRM})$				1,2 μs
t_q	Typische Freiwerdezeit	typical circuit commutated turn-off time	$t_{vj} = 25^\circ C, V_D = 0,5 V_{DRM}, I_G = 0,6 \text{ A}, di_G/dt = 0,6 \text{ A}/\mu\text{s}$				120 μs
V_{ISOL}	Isolations-Prüfspannung	insulation test voltage	$t_{vj} = t_{vj, \max}, I_{TM} = 50 \text{ A}$				2,5 kV
			$-di_T/dt = 20 \text{ A}/\mu\text{s}, V_R = 100 \text{ V}$				
			$v_D, dv_D/dt$ nach DIN				
Thermische Eigenschaften		Thermal properties					
R_{thJC}	Innerer Wärmewiderstand	thermal resistance, junction to case	$\Theta = 180^\circ \text{el}, \sinus:$	pro Baustein/per module			$\leq 0,188^\circ \text{C}/\text{W}$
			pro Zweig/per arm				$\leq 0,750^\circ \text{C}/\text{W}$
			DC:	pro Baustein/per module			$\leq 0,178^\circ \text{C}/\text{W}$
			pro Zweig/per arm				$\leq 0,710^\circ \text{C}/\text{W}$
R_{thCK}	Wärmewiderstand zwischen Gehäuse und Kühlkörper	thermal resistance, case to heatsink	pro Baustein/per module				0,05 °C/W
			pro Zweig/per arm				0,20 °C/W
$t_{vj, \max}$	Höchstzul. Sperrschiichttemperatur	max. junction temperature					125°C
$t_{vj, op}$	Betriebstemperatur	operating temperature					-40°C...+125°C
t_{stg}	Lagertemperatur	storage temperature					-40°C...+130°C
Mechanische Eigenschaften		Mechanical properties					
G	Si-Elemente glaspassiviert, gelötet	Si-pellets glass-passivated, soldered					
	Innere Isolation: Al_2O_3	internal insulation: Al_2O_3					
M	Gewicht	weight					ca. 225 g
	Anzugsdrehmomente	tightening torques					
	mechanische Befestigung	case to heatsink					6 Nm
	elektrische Anschlüsse	busbars to terminals					4 Nm
	Maßbild	outline					Seite/page 28

Recognized by Underwriters Laboratories Inc.

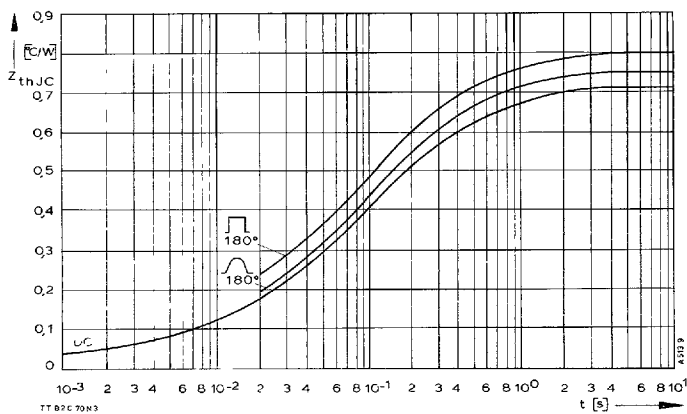
* Für größere Stückzahlen bitte Liefertermin erfragen/Delivery for larger quantities on request



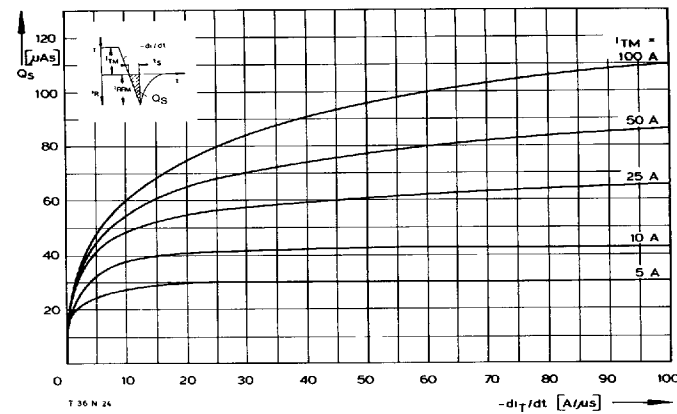
1 Höchstzulässige Gehäusetemperatur t_C in Abhängigkeit vom Ausgangsstrom I_d
Maximum allowable case temperature t_C versus output current I_d



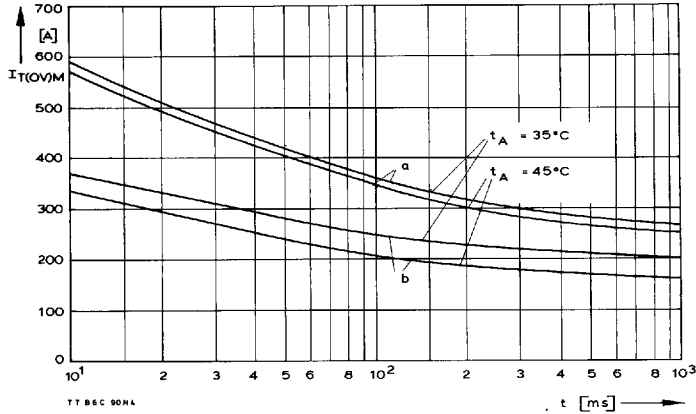
2 Höchstzulässiger Ausgangsstrom I_d für verschiedene Kühlbedingungen
Maximum allowable output current I_d at various cooling conditions



3 Transienter innerer Wärmewiderstand Z_{thJC} je Zweig
Transient thermal impedance Z_{thJC} per arm

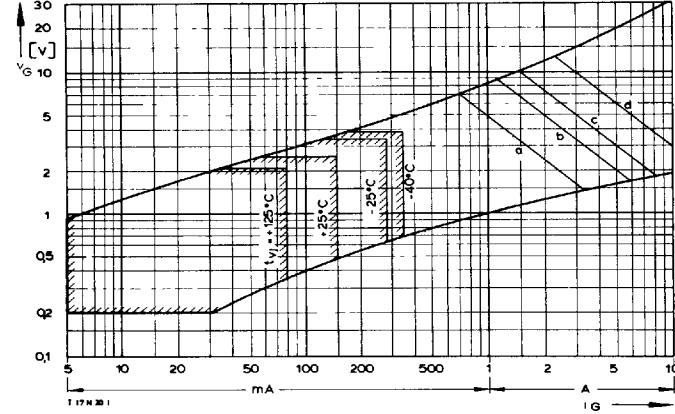


4 Nachlaufladung Q_S in Abhängigkeit von der abkommutierenden Stromsteilheit $-dI_F/dt$ bei $t_{v_F \max}$
Lag charge Q_S versus the rate of decay of forward current $-dI_F/dt$ at $t_{v_F \max}$



5 Grenzstrom je Zweig $I_{F(OVIM)}$ bei Luftselbstkühlung, $t_A = 45^\circ C$, Kühlkörper KP 0,33 S...KP 0,5 S und verstärkter Luftkühlung, $t_A = 35^\circ C$, Kühlkörper KP 0,33 S...KP 0,41 S, $V_R = 0,8 V_{RMM}$
Limiting overload forward current per arm $I_{F(OVIM)}$ at natural cooling, $t_A = 45^\circ C$, heatsinks KP 0.33 S...KP 0.5 S and forced cooling, $t_A = 35^\circ C$, heatsinks KP 0.33 S...KP 0.41 S, $V_R = 0.8 V_{RMM}$
a – Belastung nach Leerlauf
b – Belastung nach Dauerbetrieb mit I_d

Current surge under no-load conditions,
b – Belastung nach Dauerbetrieb mit I_d
Current surge occurs during operation at output current I_d



6 Zündbereich und Spitzensteuerleistung bei $V_D \geq 6 V$.
Gate characteristic and peak gate power dissipation at $V_D \geq 6 V$.

Parameter:	a	b	c	d
Steuerimpulsdauer/Pulse duration t_g [ms]	10	1	0,5	0,1
Höchstzulässige Spitzensteuerleistung/ Maximum allowable peak gate power [W]	5	10	15	30